

MÉTODOS NUMÉRICOS - TRABALHO

SÉRGIO CORDEIRO

1. Resolver o problema da seção 3.7.1 do Livro: Numerical Technique in Electromagnetics with Matlab (Matthew N. O. Sadiku).
Descrever detalhadamente o problema
Apresentar gráficos de equipotenciais e campo elétrico
Calcular a impedância característica
Realizar análise numérica detalhada
Comentar os resultados detalhadamente

SUMÁRIO

1. Descrição do problema	1
1.1. Resumo	1
1.2. Cálculo do potencial em cada ponto	2
1.3. Cálculo do campo elétrico	8
1.4. Cálculo da carga elétrica na região	9
1.5. Cálculo dos parâmetros da linha	10
2. Solução computacional	11
3. Análise numérica	17
4. Conclusão	33
Referências	33

1. DESCRIÇÃO DO PROBLEMA

1.1. **Resumo.** O problema demonstra uma aplicação do método das diferenças finitas no cálculo da impedância característica de uma linha de transmissão do tipo *microstrip* aberta. Com as simplificações feitas, é possível chegar ao resultado por meio dos seguintes passos:

1. calcular o potencial em todos os pontos da região por meio da equação de Laplace: $\nabla^2 V = 0$.
2. calcular o campo elétrico em todos os pontos a partir do potencial a partir da expressão $\vec{E} = -\vec{\nabla}V$.

3. calcular a carga elétrica na região por meio da lei de Gauss:

$$q = \oint_S \vec{D} \cdot d\vec{S}$$

4. calcular a capacitância da linha por meio da expressão $C_0 = \frac{q}{V_0}$.

5. calcular a indutância da linha pela expressão $L = \frac{\ell^2}{c^2 C_0}$.

6. calcular a impedância da linha pela expressão $Z_0 = \sqrt{\frac{L}{C}}$.

Esses passos são detalhados a seguir.

1.2. Cálculo do potencial em cada ponto. Uma linha do tipo *microstrip* é construída a partir de uma placa de circuito impresso de dupla face. A geometria está ilustrada nas figuras abaixo.

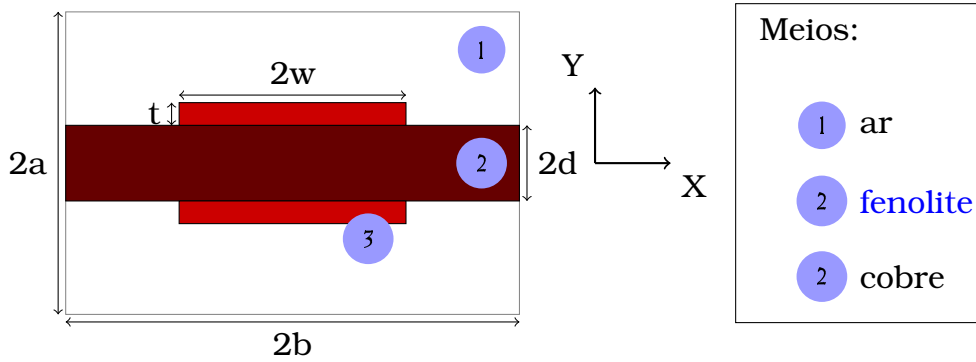


FIGURA 1. Seção transversal da linha de transmissão *microstrip*

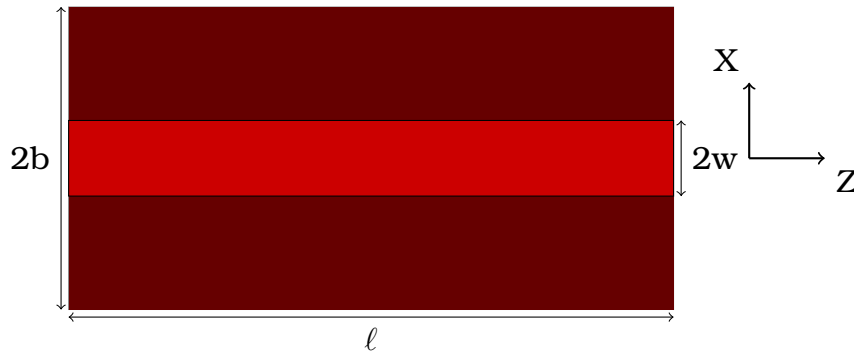


FIGURA 2. Vista superior da linha de transmissão *microstrip*

Para se calcular V em cada ponto, pode-se estabelecer um potencial V_0 em uma das superfícies condutoras e considerar que $V = 0$ a uma

distância suficiente. Nesse caso, o campo magnético \vec{H} será nulo e, uma vez que não há carga elétrica livre no interior dos meios dielétricos (1 e 2), o potencial deve obedecer à equação de Laplace:

$$\nabla^2 V = 0$$

$$(1) \quad \frac{\partial^2 V}{\partial x^2} + \frac{\partial^2 V}{\partial y^2} = 0$$

Esse caminho constitui uma simplificação valiosa, porque para \vec{H} não nulo, seria preciso empregar a equação de onda, muito mais complexa, para resolver o problema.

Outra simplificação que se pode fazer é reconhecer que, devido à simetria do problema, só é necessário calcular o valor de V em um dos quadrantes, uma vez que $V(x, y) = V(-x, y) = V(y, -x) = V(-x, -y)$. Finalmente, uma simplificação adicional decorre de considerar todos os meios como diamagnéticos e sem perdas:

$$(2) \quad \mathbb{P}^{(1)} = \mathbb{P}^{(2)} = \mathbb{P}^{(3)} = 0$$

$$(3) \quad \mathbb{Q}^{(1)} = \mathbb{Q}^{(2)} = 0$$

O cálculo do potencial pelo método das diferenças finitas se baseia na divisão da região de interesse por uma grade uniforme, cada célula possuindo largura h , como ilustrado nas figuras abaixo:

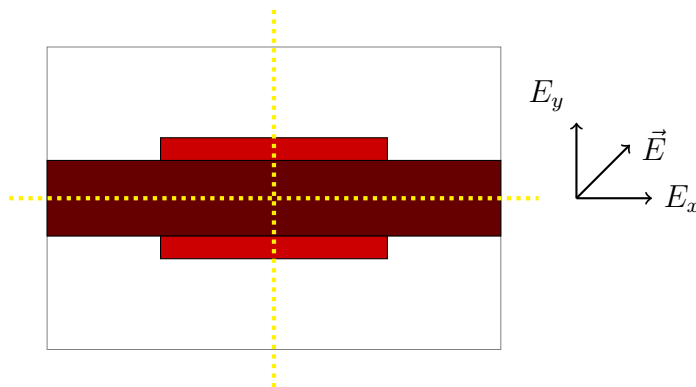


FIGURA 3. Eixos de simetria e vetor campo elétrico

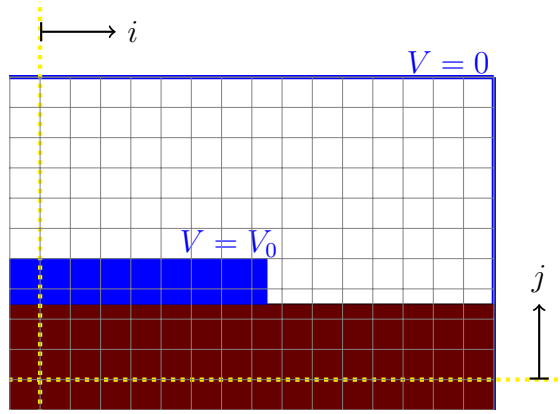


FIGURA 4. Região de trabalho e grade para integração

Em coordenadas retangulares, e utilizando a aproximação da derivada segunda pela fórmula central de segunda ordem, pode-se escrever a expressão 1 como:

$$\begin{aligned} & \frac{\partial^2 V}{\partial x^2} + \frac{\partial^2 V}{\partial y^2} = 0 \\ & \frac{V(i+1, j) - 2V(i, j) + V(i-1, j)}{h^2} + \dots \\ & \dots + \frac{V(i, j+1) - 2V(i, j) + V(i, j-1)}{h^2} = 0 \quad \boxed{i, j \in \mathbb{N}} \end{aligned}$$

$$\begin{aligned} & \therefore 4V(i, j) = V(i+1, j) + V(i-1, j) + V(i, j+1) + V(i, j-1) \\ (4) \quad & V(i, j) = \frac{1}{4} \left[V(i+1, j) + V(i-1, j) + V(i, j+1) + V(i, j-1) \right] \end{aligned}$$

onde h é a largura da grade e i e j , os índices referentes aos eixos X e Y, respectivamente.

A fórmula 4 vale para todos os pontos onde a derivada segunda do potencial é contínua. Isso significa toda a região de interesse, com exceção das interfaces entre os meios. Nestes, há descontinuidade na derivada primeira de V na direção transversal à interface, e a derivada segunda não pode ser calculada. Para encontrar uma expressão para o potencial nas interfaces, aplica-se a lei de Gauss ao cubo de aresta infinitesimal $\delta\ell$ indicado na figura abaixo:

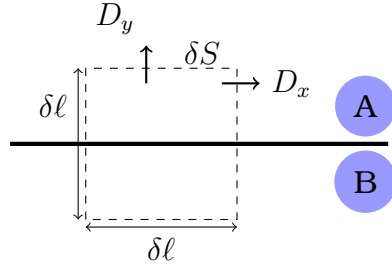


FIGURA 5. Superfície para aplicação da lei de Gauss na interface

As paredes desse cubo são sempre perpendiculares a uma das componentes do campo elétrico e paralelas à outra. Não há componentes de \vec{D} na direção perpendicular ao plano da figura. Como $\delta\ell$ é infinitesimal, pode-se considerar que \vec{D} é constante na direção paralela à interface. Assim:

$$\oint_{\delta S} \vec{D} \cdot d\vec{S} = \int_{\delta V} (\vec{\nabla} \cdot \vec{D}) d$$

$$\oint_{\delta S} \vec{D} \cdot d\vec{S} = 0$$

$$\sum_m D_m \delta\ell \frac{\delta\ell}{2} = 0 \quad \boxed{m \in (1, 8)}$$

$$\sum_m D_m = 0$$

$$\therefore -D_x^{(x^-, y^+)} - D_x^{(x^-, y^-)} - D_y^{(x^-, y^-)} - D_y^{(x^+, y^-)} + D_x^{(x^+, y^-)} + \dots$$

$$\dots + D_x^{(x^+, y^+)} + D_y^{(x^+, y^+)} + D_y^{(x^-, y^+)} = 0$$

Como $\vec{D} = \epsilon \vec{E}$:

$$\epsilon^{(A)} \left[-E_x^{(x^-, y^+)} + E_x^{(x^+, y^+)} + E_y^{(x^+, y^+)} + E_y^{(x^-, y^+)} \right] = \dots$$

$$(5) \quad \dots \epsilon^{(B)} \left[E_x^{(x^-, y^-)} + E_y^{(x^-, y^-)} + E_y^{(x^+, y^-)} - E_x^{(x^+, y^-)} \right]$$

onde A e B são os meios que interfaceiam e $\epsilon^{(A)}$ e $\epsilon^{(B)}$, suas respectivas permissividades elétricas.

Aplicando a derivada progressiva de primeira ordem, em lugar da derivada central de segunda ordem, tem-se:

$$\vec{E} = -\vec{\nabla} V$$

$$E_x \hat{a}_x + E_y \hat{a}_y = -\frac{\partial V}{\partial x} \hat{a}_x - \frac{\partial V}{\partial y} \hat{a}_y \quad \implies$$

$$(6) \quad E_x = \begin{cases} \frac{V(i, j) - V(i+1, j)}{h} & i > i_I \\ \frac{V(i-1, j) - V(i, j)}{h} & i < i_I \end{cases}$$

$$E_y = \begin{cases} \frac{V(i, j) - V(i, j+1)}{h} & j > j_I \\ \frac{V(i, j-1) - V(i, j)}{h} & j < j_I \end{cases}$$

onde i_I e j_I denotam a localização da superfície Gaussiana.

Para uma interface paralela ao eixo X, a aplicação de 6 a 5 resulta:

$$\begin{aligned} \epsilon^{(A)} \left[\frac{V(i, j) - V(i-1, j)}{h} + \frac{V(i, j) - V(i+1, j)}{h} + \frac{V(i, j) - V(i, j+1)}{h} + \dots \right. \\ \left. \dots + \frac{V(i, j) - V(i, j+1)}{h} \right] = \epsilon^{(B)} \left[\frac{V(i-1, j) - V(i, j)}{h} + \frac{V(i, j-1) - V(i, j)}{h} + \dots \right. \\ \left. \dots + \frac{V(i, j-1) - V(i, j)}{h} + \frac{V(i+1, j) - V(i, j)}{h} \right] \\ \left[4\epsilon^{(A)} + 4\epsilon^{(B)} \right] V(i, j) = \epsilon^{(A)} \left[V(i-1, j) + V(i+1, j) + 2V(i, j+1) \right] + \dots \\ \dots + \epsilon^{(B)} \left[V(i-1, j) + 2V(i, j-1) + V(i+1, j) \right] \\ = \left[\epsilon^{(A)} + \epsilon^{(B)} \right] \left[V(i+1, j) + V(i-1, j) \right] + \dots \\ \dots + 2\epsilon^{(A)}V(i, j+1) + 2\epsilon^{(B)}V(i, j-1) \end{aligned}$$

$$(7) \quad \therefore V(i, j) = \frac{1}{4} \left[V(i+1, j) + V(i-1, j) \right] + \frac{\epsilon^{(A)}V(i, j+1) + \epsilon^{(B)}V(i, j-1)}{2(\epsilon^{(A)} + \epsilon^{(B)})}$$

De forma similar, para uma interface paralela ao eixo Y:

$$(8) \quad V(i, j) = \frac{1}{4} \left[V(i, j+1) + V(i, j-1) \right] + \frac{\epsilon^{(A)}V(i+1, j) + \epsilon^{(B)}V(i-1, j)}{2(\epsilon^{(A)} + \epsilon^{(B)})}$$

As equações 7 e 8 se igualam a 4 para $\epsilon^{(A)} = \epsilon^{(B)}$, ou seja, quando não há interface no local.

Nos eixos de simetria, o campo elétrico deve se anular, pois o potencial

em ambos os lados é igual. Assim, para $x = 0$, teremos:

$$(9) \quad \frac{\partial V}{\partial x} = 0 \implies V(-1, j) = V(1, j)$$

E de forma similar, para $y = 0$:

$$(10) \quad \frac{\partial V}{\partial y} = 0 \implies V(i, -1) = V(i, j)$$

Essas expressões devem ser aplicadas à equação 4 sobre os eixos de simetria ($i = 0$ e $j = 0$), o que resulta:

$$(11) \quad V(i, j) = \frac{1}{4} \left[V(i+1, j) + V(i-1, j) + 2V(i, j+1) \right] \quad / j = 0 \wedge i > 0$$

$$(12) \quad V(i, j) = \frac{1}{4} \left[2V(i+1, j) + V(i, j+1) + V(i, j-1) \right] \quad / i = 0 \wedge j > 0$$

$$(13) \quad V(i, j) = \frac{1}{4} \left[2V(i+1, j) + 2V(i, j+1) \right] \quad / i = 0 \wedge j = 0$$

Resumindo: o potencial V deve ser calculado pelo método das diferenças finitas, subdividindo-se o quadrante superior direito da região em uma grade de largura h constante, considerando as expressões seguintes:

$$V(i, j) = \begin{cases} 0 & i, j \in \{\mathfrak{R}_1\} \\ V_0 & i, j \in \{\mathfrak{R}_2\} \\ \frac{V(i+1, j) + V(i-1, j) + V(i, j+1) + V(i, j-1)}{4} & i, j \in \{\mathfrak{R}_3 \cup \mathfrak{R}_6\} \\ \frac{V(i+1, j) + V(i-1, j)}{4} + \frac{\epsilon^{(A)}V(i, j+1) + \epsilon^{(B)}V(i, j-1)}{2(\epsilon^{(A)} + \epsilon^{(B)})} & i, j \in \{\mathfrak{R}_4\} \\ \frac{2V(1, j) + V(0, j+1) + V(0, j-1)}{4} & i, j \in \{\mathfrak{R}_5\} \\ \frac{2V(i, 1) + V(i+1, 0) + V(i-1, 0)}{4} & i, j \in \{\mathfrak{R}_7\} \end{cases}$$

onde as subregiões \mathfrak{R}_n são:

$$\mathfrak{R}_1 : \left(i = N_i \right) \vee \left(j = N_j \right)$$

$$\mathfrak{R}_2 : \left(0 \leq i \leq i_w \right) \wedge \left(j_d \leq j \leq j_w \right)$$

$$\mathfrak{R}_3 : \left(0 \leq i \leq N_i \right) \wedge \left(0 \leq j \leq j_d \right)$$

$$\mathfrak{R}_4 : \left(i_w \leq i \leq N_i \right) \wedge \left(j = j_d \right)$$

$$\mathfrak{R}_5 : \left(0 \leq i \leq N_i \right) \wedge \left(j = 0 \right)$$

$$\mathfrak{R}_6 : \left[\left(i_1 \leq i \leq i_2 \right) \wedge \left(i_w \leq i \leq N_i \right) \right] \vee \left(j_w \leq j \leq N_j \right)$$

$$\mathfrak{R}_7 : \left(i = 0 \right) \wedge \left(0 \leq j \leq N_j \right)$$

onde N_i e N_j são os limites de i e j , e i_w , j_e e j_w são as posições das interfaces entre os meios; todos esses valores dependem das dimensões do problema e do valor de h escolhido. A figura abaixo mostra as subregiões existentes:

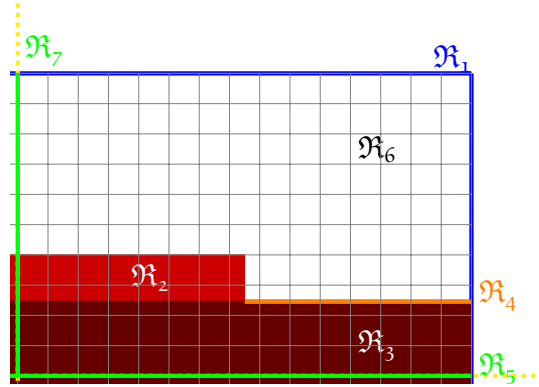


FIGURA 6. Subregiões para integração

1.3. Cálculo do campo elétrico. A partir do resultado, as componentes do campo elétrico em cada ponto podem ser calculadas pela aplicação da derivada primeira adequada. Essa derivada será a derivada central de segunda ordem nos pontos distantes das interfaces e dos limites da grade; nos demais pontos, será necessário usar uma derivada de primeira ordem, como nas equações 5.

O cálculo do campo elétrico não é estritamente necessário para o cálculo da impedância da linha, porque todos os valores relevantes podem

ser obtidos diretamente do potencial, como será mostrado em seguida (equação 14) .

1.4. Cálculo da carga elétrica na região. Pode-se obter a carga total q existente na região aplicando-se a lei de Gauss a um entorno da superfície condutora, conforme mostram as figuras abaixo:

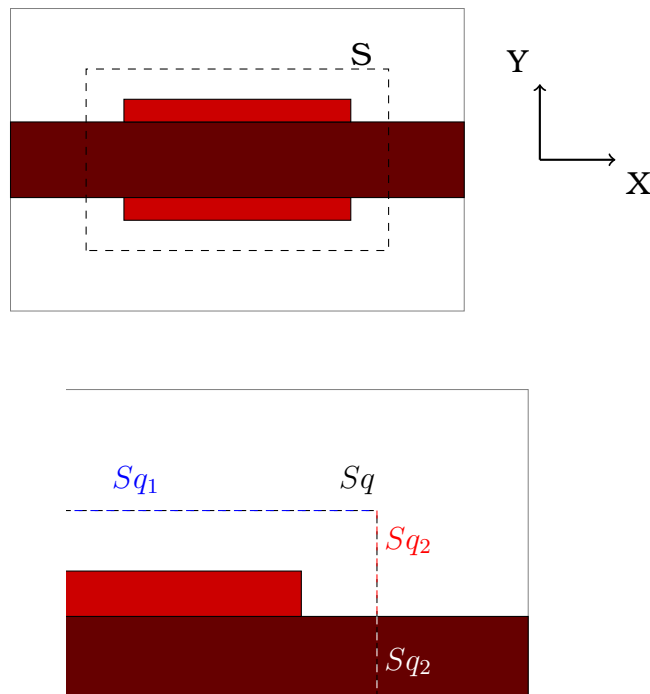


FIGURA 7. Superfícies para aplicação da lei de Gauss

$$q = \oint_S \vec{D} \cdot d\vec{S}$$

Podem-se usar os valores de \vec{E} encontrados anteriormente para calcular \vec{D} , mas também podem-se empregar diretamente os valores do potencial:

$$\begin{aligned}
 q &= \oint_S \vec{D} \cdot d\vec{S} \\
 &= \oint_S \epsilon \vec{E} \cdot d\vec{S} \\
 &= 4 \int_{S_q} \epsilon \vec{E} \cdot d\vec{S} \\
 &= 4 \left\{ \int_{S_{q1}} \epsilon^{(A)} E_y dS + \int_{S_{q2}} \epsilon^{(A)} E_x dS + \int_{S_{q3}} \epsilon^{(B)} E_x dS \right\}
 \end{aligned}$$

Empregando a derivada central de segunda ordem para calcular \vec{E} :

$$\begin{aligned}
 q &= 4 \left\{ \sum_{S_{q1}} \epsilon^{(A)} \frac{V(i+1, j) + V(i-1, j)}{2h} h\ell + \sum_{S_{q2}} \epsilon^{(A)} \frac{V(i, j+1) + V(i, j-1)}{2h} h\ell + \dots \right. \\
 &\quad \left. \dots + \sum_{S_{q3}} \epsilon^{(B)} \frac{V(i, j+1) + V(i, j-1)}{2h} h\ell \right\} \\
 &= 2\ell \left\{ \epsilon^{(A)} \sum_{S_{q1}} V(i+1, j) + V(i-1, j) + \epsilon^{(A)} \sum_{S_{q2}} V(i, j+1) + V(i, j-1) + \dots \right. \\
 (14) \quad &\quad \left. \dots + \epsilon^{(B)} \sum_{S_{q3}} V(i, j+1) + V(i, j-1) \right\}
 \end{aligned}$$

A carga também poderia ser calculada a partir do Laplaciano, pois:

$$(15) \quad \nabla^2 V = \frac{\rho}{\epsilon}$$

e

$$(16) \quad q = \int_V \rho dV$$

Esse cálculo alternativo não foi feito, pois o objetivo do trabalho é comparar métodos para encontrar-se o potencial, não a carga.

1.5. Cálculo dos parâmetros da linha. A capacitância da linha pode ser calculada pela expressão:

$$(17) \quad C = \frac{q}{V_0}$$

A indutância da linha pode ser calculada pela expressão:

$$(18) \quad L = \frac{\ell^2}{c^2 C_0}$$

onde c é a velocidade da luz no vácuo e C_0 é a capacitância da linha quando todo o dielétrico for substituído pelo vácuo.

A impedância característica da linha, finalmente, é dada por:

$$(19) \quad Z_0 = \sqrt{\frac{L}{C}} = \sqrt{\frac{\ell^2}{c^2 C_0 C}}$$

$$(20) \quad = \frac{1}{c \sqrt{\frac{C_0}{\ell} \frac{C}{\ell}}}$$

Percebe-se, pelas equações 20, 17 e 14, que o valor de ℓ não precisa ser dado para que o problema seja resolvido.

2. SOLUÇÃO COMPUTACIONAL

O problema foi resolvido através MATLAB, por isso os índices i e j variaram no intervalo $(1, N_a + 1)$ em lugar de no intervalo $(0, N_a)$, como ocorreu na seção anterior. Os valores de permissividade elétrica relativa usados foram:

$$\begin{aligned} \epsilon_r^{(1)} &= 1 \\ \epsilon_r^{(2)} &= 2.35 \end{aligned}$$

Os parâmetros da linha escolhidos foram os seguintes:

$$\begin{aligned} 2a &= 5.0 \text{ cm} \\ 2b &= 5.0 \text{ cm} \\ 2d &= 1.0 \text{ cm} \\ 2w &= 2.0 \text{ cm} \\ t &= 0.001 \text{ cm} \end{aligned}$$

que são os valores usados por [SADIKU 2009]. O uso desses parâmetros permitiu a comparação dos resultados obtidos com os listados no livro. O programa listado considera que $t \ll h$ sempre, o que simplifica o cálculo. Esse programa contém pequenos erros: não calcula o potencial na origem ($x = y = 0$), por exemplo; além disso, ele usa um método iterativo que não leva em conta a precisão obtida em cada iteração como critério de parada. Mesmo assim, para viabilizar a comparação dos resultados

obtidos, implementamos o método iterativo com características similares. Além disso, implementamos também o método alternativo de solução do sistema linear:

$$AV = b$$

onde A é a matriz dos coeficientes, que expressa o valor do potencial em um ponto p em função do potencial dos outros pontos, e b é um vetor que expressa a contribuição dos pontos fixos para o potencial em p . O código para cálculo do potencial está listado abaixo.

LISTING 1. CalcVS.m

```

1 function V = CalcVS(nx, ny, jd, iw, epsilon)
2 % Calcula o potencial elétrico, por meio da solução de um sistema linear, na região
   limitada por 0 <= i <= 'nx' e 0 <= j <= 'ny', com dielétrico de permissividade '
   epsilon' na posição (0 <= i <= 'nx', 0 <= j <= 'jd') e placa condutora na posição
   (0 <= i <= 'iw', j = 'jd').
3 % Criação dos mapas direto e inverso dos pontos
4 nA = (nx - 1) * (ny - 1) - iw;
5 nb = nx + ny + iw - 1;
6 map = zeros(nA + nb, 3);
7 imap = zeros(nx, ny);
8 idx = [1, 1 + nA];
9 for i = 1:nx
10     for j = 1:ny
11         if (j == jd) && (i <= iw)
12             % placa condutora
13             parms = [2 1];
14         elseif (i == nx) || (j == ny)
15             % entorno
16             parms = [2 0];
17         elseif (j == jd)
18             % interface entre o substrato e o ar
19             parms = [1 2];
20         elseif (i == 1) || (j == 1)
21             % eixos X e Y
22             parms = [1 3];
23         else
24             % ar ou substrato
25             parms = [1 4];
26         end
27         point = idx(parms(1));
28         idx(parms(1)) = idx(parms(1)) + 1;
29         map(point,:) = [i, j, parms(2)];
30         imap(i,j) = point;
31     end
32 end
33 % Montagem da matriz de coeficientes e do vetor de contribuição dos pontos fixos
34 global epsilon0;
35 epsilon = [1 epsilon];
36 p = epsilon / (2 * sum(epsilon));
37 A = zeros(nA, nA);
38 b = zeros(nA,1);
39 for point = 1:nA

```

```

40     parms = num2cell(map(point,:));
41     [i, j, type] = deal(parms{:});
42     A(point,point) = 4;
43     near = [0, imap(i+1,j), 0, imap(i,j+1)];
44     if (i > 1)
45         near(1) = imap(i-1,j);
46     else
47         near(1) = near(2);
48     end
49     if (j > 1)
50         near(3) = imap(i,j-1);
51     else
52         near(3) = near(4);
53     end
54     for l = 1:4
55         pos = near(l);
56         if pos <= nA
57             if type == 2 && l == 3
58                 factor = - 4 * p(2);
59             elseif type == 2 && l == 4
60                 factor = - 4 * p(1);
61             else
62                 factor = - 1;
63             end
64             A(point,pos) = A(point,pos) + factor;
65         else
66             b(point) = b(point) + map(pos,3);
67         end
68     end
69 end
70 % Resolve o sistema
71 x = A \ b;
72 % Combina os pontos fixos e os livres
73 V = zeros(nx,ny);
74 for i = 1:nx
75     for j = 1:ny
76         point = imap(i,j);
77         type = map(point, 3);
78         if type == 1
79             V(i,j) = 1;
80         elseif point <= nA
81             V(i,j) = x(point);
82         end
83     end
84 end
85 % Calcula o Laplaciano, para testar a solução
86 %{
87     lap = zeros(anx-2,any-2);
88     for i = 2:anx-1
89         for j = 2:any-1
90             lap(i,j) = V(i,j) - 0.25 * (V(i+1,j) + V(i-1,j) + V(i,j+1) + V(i,j-1));
91         end
92     end
93     imagesc(lap), colorbar;
94 %}
95 end

```

LISTING 2. CalcVI.m

```

1 function V = CalcVI(nx, ny, jd, iw, epsilon, nt)
2 % Calcula o potencial elétrico, por um processo iterativo, na região limitada por 0 <=
   i <= 'nx' e 0 <= j <= 'ny', com dielétrico de permissividade 'epsilon' na posição
   (0 <= i <= 'nx', 0 <= j <= 'jd') e placa condutora na posição (0 <= i <= 'iw', j
   = 'jd').
3 % Inicializa o potencial
4 V = zeros(nx, ny);
5 V(1:iw, jd) = 1;
6 epsilon = [1 epsilon];
7 p = 2 * epsilon / (sum(epsilon));
8 % Recalcula o potencial 'nt' vezes
9 for k=1:nt
10     for i=1:(nx - 1)
11         for j=1:(ny - 1)
12             if ( (j == jd) && (i <= iw) )
13                 % placa condutora; não é preciso recalcular V
14             elseif (j == jd)
15                 % interface entre o substrato e o ar
16                 V(i,j) = 0.25 * (V(i+1,j) + V(i-1,j) + p(1)* V(i,j+1) + p(2)* V(i,j-1));
17             elseif ((i == 1) && (j == 1))
18                 % origem
19                 V(i,j) = 0.25 * (2 * V(i+1,j) + 2 * V(i,j+1));
20             elseif (i == 1)
21                 % eixo Y
22                 V(i,j) = 0.25 * (2 * V(i+1,j) + V(i,j+1) + V(i,j-1));
23             elseif (j == 1)
24                 % eixo X
25                 V(i,j) = 0.25 * (V(i+1,j) + V(i-1,j) + 2 * V(i,j+1));
26             else
27                 % ar ou substrato
28                 V(i,j) = 0.25 * (V(i+1,j) + V(i-1,j) + V(i,j+1) + V(i,j-1));
29             end
30         end
31     end
32     % remover os comentários da linha abaixo para plotagem dos resultados parciais
33     %figure(1), imagesc(flipud(V')), colorbar, title([num2str(k), '/', num2str(nt)]);
       drawnow;
34 end
35 end

```

O código para cálculo do campo elétrico e plotagem dos gráficos é o seguinte:

LISTING 3. Grad.m

```

1 function v = Grad(f, h)
2 % Calcula o gradiente do campo escalar 'f' em cada ponto da grade de largura 'h'. Usa
   diferenças progressivas de primeira ordem; nos limites superiores, repete o valor
   calculado para a penúltima linha/coluna.
3 numxy = size(f);
4 vx = zeros(numxy);
5 vy = vx;
6 vx(1:(numxy(1) - 1), 1:(numxy(2) - 1)) = (f(2:(numxy(1)), 1:(numxy(2) - 1)) - f(1:(
   numxy(1) - 1), 1:(numxy(2) - 1))) / h;
7 vy(1:(numxy(1) - 1), 1:(numxy(2) - 1)) = (f(1:(numxy(1) - 1), 2:(numxy(2))) - f(1:(
   numxy(1) - 1), 1:(numxy(2) - 1))) / h;
8 vx(1:(numxy(1) - 1), end) = vx(1:(numxy(1) - 1), end - 1);
9 vy(1:(numxy(1) - 1), end) = vy(1:(numxy(1) - 1), end - 1);
10 vx(end,:) = vx(end-1,:);
11 vy(end,:) = vy(end-1,:);
12 v = {vx, vy};
13 end

```

LISTING 4. plotVE.m

```

1 function plotVE(V, E, fig)
2 % Plota o gráfico do potencial 'V' e do campo elétrico 'E' na figura 'fig'.
3 feature('DefaultCharacterSet', 'UTF8');
4 % Equipotenciais
5 n = size(V, 1);
6 idx = linspace(1, n, n);
7 [X, Y] = meshgrid(idx, idx);
8 hf = figure(fig);
9 contour(X, Y, V'), colorbar;
10 % Vetores do campo elétrico
11 % ... seleciona apenas 20 linhas e 20 colunas, para melhor apresentação
12 [Ex, Ey] = E{:};
13 n = size(Ex);
14 tam = min(n, [20 20]);
15 idx = round(linspace(1, n(1), tam(1)));
16 idy = round(linspace(1, n(2), tam(2)));
17 [X, Y] = meshgrid(idx, idy);
18 selx = - Ex(idx, idy);
19 sely = - Ey(idx, idy);
20 figure(fig), hold on, quiver(Y, X, selx, sely), title('Campo elétrico');
21 hold off;
22 saveas(hf, strcat('plotVE', num2str(fig), '.jpg'));
23 end

```

Finalmente, o código para cálculo da carga e da impedância da linha e controle geral da execução está listado abaixo:

LISTING 5. CalcQ.m

```

1 function q = CalcQ(V, iout, jout, jd, epsilon)
2 % Calcula a carga por meio da lei de Gauss a partir do potencial 'V'
3 % Parâmetros para o cálculo
4 % ... intervalos a considerar
5 interval = [
6     1, 1, jout + 1, jout + 1;
7     1, 1, jout, jout;
8     2, iout, jout + 1, jout + 1;
9     2, iout, jout, jout;
10    iout + 1, iout + 1, jd + 1, jout;
11    iout, iout, jd + 1, jout;
12    iout + 1, iout + 1, 2, jd - 1;
13    iout, iout, 2, jd - 1;
14    iout + 1, iout + 1, 1, jd - 1;
15    iout, iout, 1, jd - 1;
16    iout + 1, iout + 1, jd, jd;
17    iout, iout, jd, jd;
18    iout + 1, iout + 1, jd, jd;
19    iout, iout, jd, jd;
20 ];
21 % ... pesos e permissividades em cada intervalo
22 mult = epsilon([1 1 1 1 1 1 2 2 2 2 1 1 2 2]) .* [-0.5 0.5 -1 1 -1 1 -1 1 -0.5 0.5
23    -0.5 0.5 -0.5 0.5];
24 % Cálculo pela lei de Gauss
25 q = 0;
26 for k = 1:14
27     q = q + sum(V(interval(k,1):interval(k,2), interval(k,3):interval(k,4))) * mult(k);
28 end

```


LISTING 6. CalcZ0.m

```

1 function Z0 = CalcZ0(h, nt)
2 % Resolve o exemplo 3.6 do livro "Numerical Techniques in Electromagnetic with MATLAB",
  % de Matthew N. O. Sadiku, terceira edição, pp. 132 a 159}.
3 % 'h' é o tamanho da malha usada para o cálculo do potencial pelo método das diferenças
  % finitas, e 'nt' é o número de iterações para o método iterativo. Quando 'nt' = 0,
  % usa-se o método de solução de um sistema linear.
4 % Inicialização
5 % ... constantes físicas:
6 global epsilon0 c;
7 [epsilon0, c] = deal(8.81e-12, 3e8);
8 % ... parâmetros do problema:
9 % ..... dimensões em cm
10 [a, b, d, w, epsilonnr] = deal(2.5, 2.5, 0.5, 1.0, 2.35);
11 % ... posições fixas
12 pos = num2cell(round([a b d w]/h));
13 [nx, ny, jd, iw] = deal(pos{:});
14 % Cálculos
15 % ... calcula o potencial duas vezes, uma com e a outra sem o dielétrico
16 if nt > 0
17     V0 = CalcVI(nx, ny, jd, iw, 1, nt);
18     Vd = CalcVI(nx, ny, jd, iw, epsilonnr, nt);
19 else
20     V0 = CalcVS(nx, ny, jd, iw, 1);
21     Vd = CalcVS(nx, ny, jd, iw, epsilonnr);
22 end
23 % ... calcula o campo elétrico para cada distribuição de potencial
24 E0 = Grad(V0, h * 0.01);
25 Ed = Grad(Vd, h * 0.01);
26 % ... plota os gráficos de V e E
27 plotVE(V0, E0, 2);
28 plotVE(Vd, Ed, 4);
29 % ... calcula a carga elétrica e a capacitância, considerando que a diferença de
  % potencial aplicada foi 1 Volt
30 % ..... a superfície Gaussiana pode estar em qualquer lugar
31 out = round([(iw jd] + [nx ny]) / 2);
32 %out = [iw jd] + 3;
33 %out = [100 100];
34 C0 = 4 * CalcQ(V0, out(1), out(2), jd, [1 1] * epsilon0);
35 Cd = 4 * CalcQ(Vd, out(1), out(2), jd, [1 epsilonnr] * epsilon0);
36 % ... calcula a impedância da linha
37 Z0 = 1 / (c * sqrt(C0 * Cd));
38 end

```

3. ANÁLISE NUMÉRICA

Os valores obtidos e os listados por [SADIKU 2009] estão tabelados abaixo:

h	iterações	$Z_0 (\Omega)$		
		bibliografia	I: iterativo	II: sistema linear
0.25	700	49.05	77.2752	77.2752
0.1	500	58.07	61.9011	61.8511
0.05	500	65.82	64.3315	58.1798
	700	63.10	61.1018	
	1000	61.53	59.2266	
0.02	1000	-	102.8709	56.2993
	2000		69.6871	
	3000		62.6227	
	4000		59.7201	
	5000		56.2993	

O texto não indica qual seria o valor correto. O método iterativo não reproduziu os resultados que constam da bibliografia, apesar de o programa ser praticamente idêntico. Os resultados obtidos com o método II também foram bem diferentes. Aplicamos o método I a grades bem finas e pudemos observar que o número de iterações precisa também ser aumentado para que o cálculo seja coerente.

De acordo com o programa listado, a superfície Gaussiana para cálculo da carga elétrica situou-se a meio caminho entre a superfície condutora e o entorno do espaço considerado; essa localização é arbitrária, e o valor calculado para a carga, e por conseguinte a impedância calculada para a linha, deveria ser a mesma qualquer que fosse a escolha. Nossos testes, no entanto, mostraram que não é assim. Isso indica que a distribuição do potencial obtida com grades e número de iterações pequenos não é suficientemente acurada. A tabela abaixo mostra, para $h = 0.02$ cm e 5000 iterações, a impedância característica obtida a partir de diversos valores para a posição da superfície Gaussiana.

i	j	$Z_0 (\Omega)$	
		I: iterativo	II: sistema linear
88	75	58.2421	56.2993
53	28	50.3515	54.3069
100	100	63.0335	56.6847

A tabela mostra que os resultados do método I não são perfeitamente coerentes, mesmo para grades finas e muitas iterações. Os resultados do método II são mais consistente, mas a grade usada também não foi suficientemente fina para eliminar todas as discrepâncias.

Os gráficos de V (equipotenciais) e \vec{E} obtidos foram os seguintes:

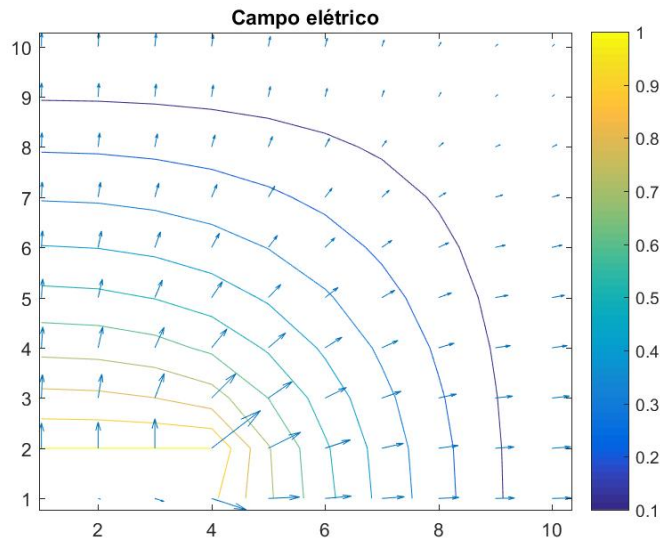


FIGURA 8. V e \vec{E} sem o dielétrico, método II, $h = 0.25 \text{ cm}$

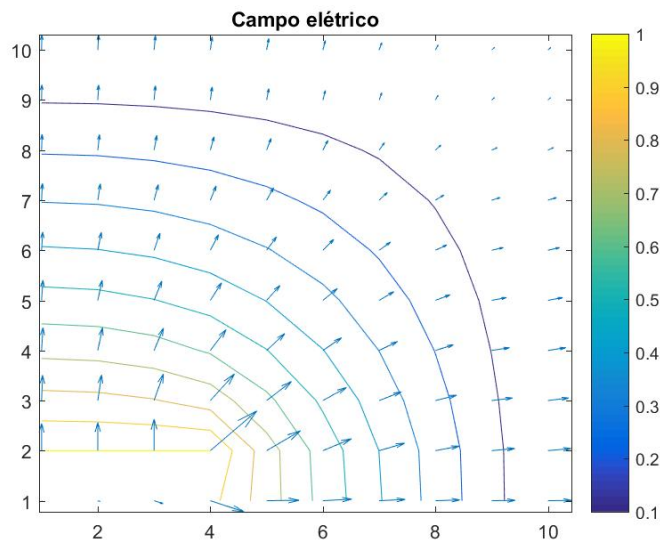


FIGURA 9. V e \vec{E} com o dielétrico, método II, $h = 0.25 \text{ cm}$

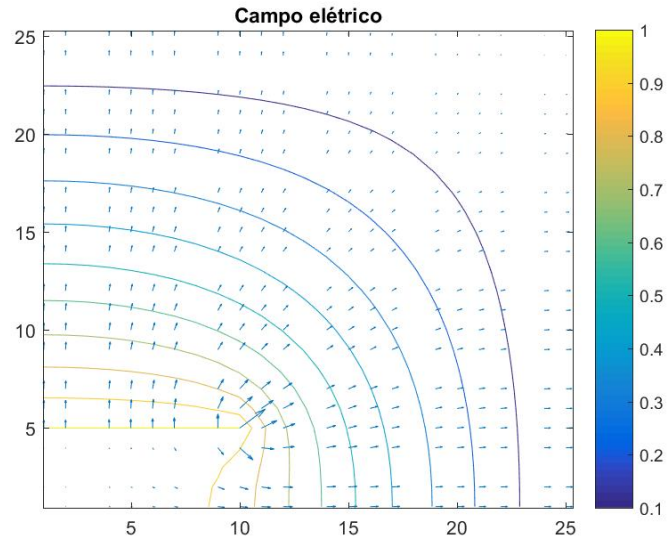


FIGURA 10. V e \vec{E} sem o dielétrico, método II, $h = 0.1 \text{ cm}$

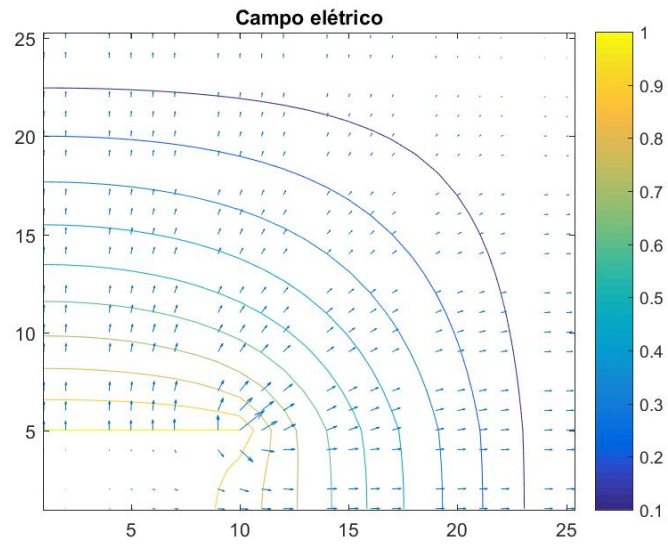


FIGURA 11. V e \vec{E} com o dielétrico, método II, $h = 0.1 \text{ cm}$

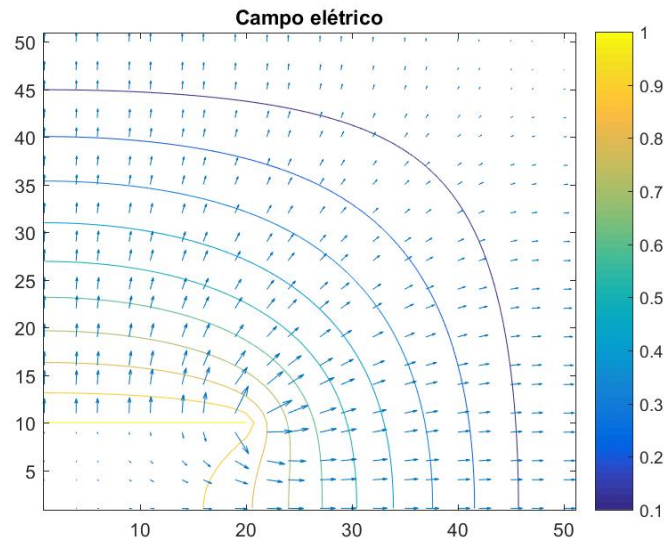


FIGURA 12. V e \vec{E} sem o dielétrico, método II, $h = 0.05 \text{ cm}$

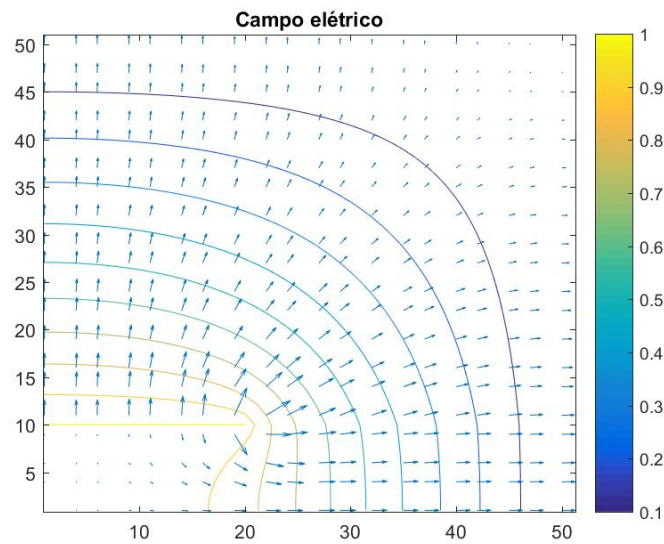


FIGURA 13. V e \vec{E} com o dielétrico, método II, $h = 0.05 \text{ cm}$

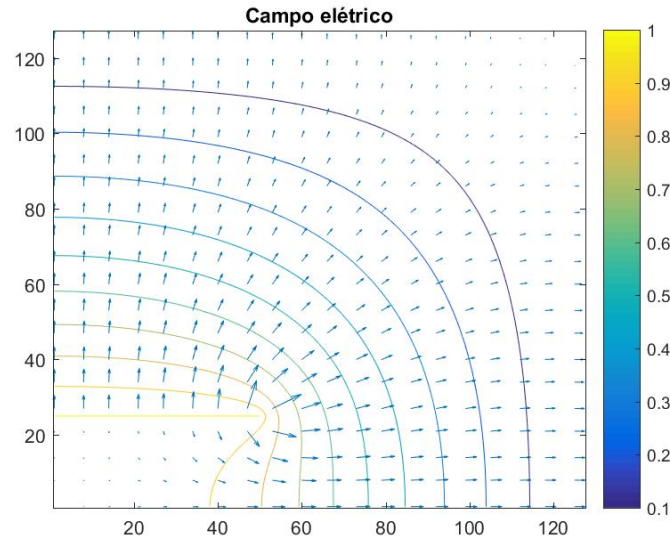


FIGURA 14. V e \vec{E} sem o dielétrico, método II, $h = 0.02 \text{ cm}$

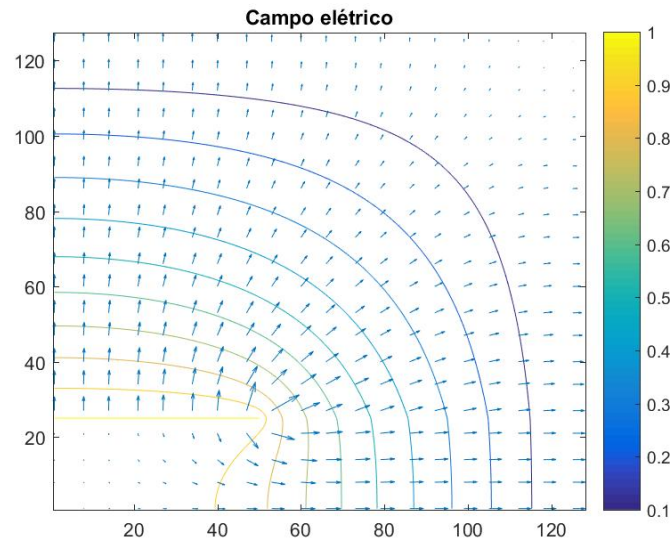


FIGURA 15. V e \vec{E} com o dielétrico, método II, $h = 0.02 \text{ cm}$

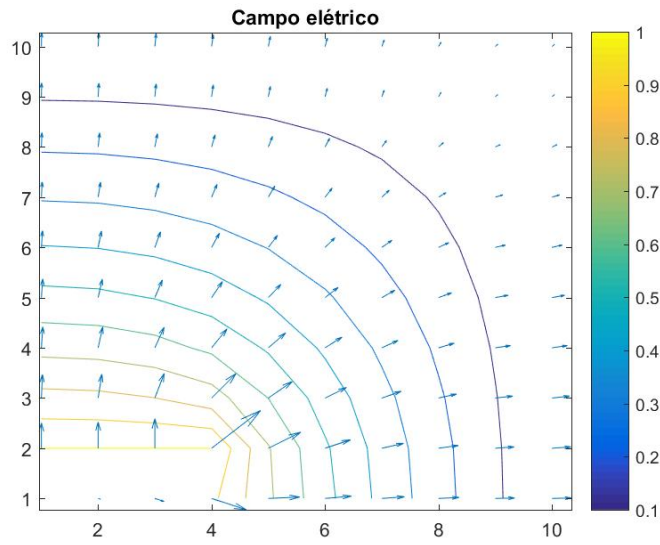


FIGURA 16. V e \vec{E} sem o dielétrico, método I, $h = 0.25 \text{ cm}$ e $nt = 700$

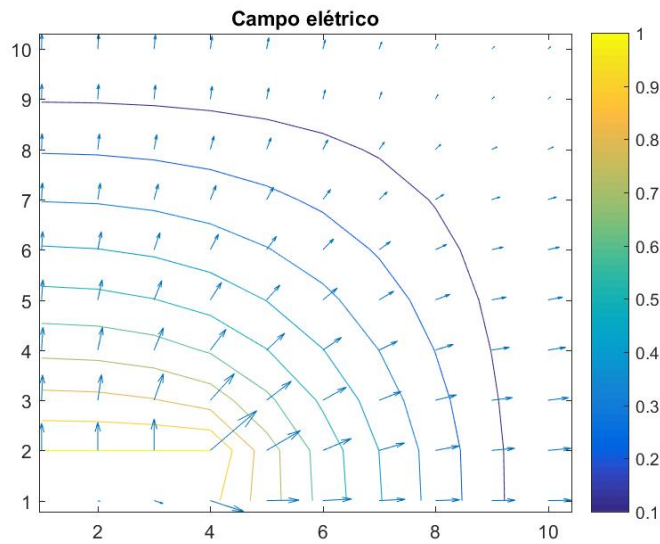


FIGURA 17. V e \vec{E} com o dielétrico, método I, $h = 0.25 \text{ cm}$ e $nt = 700$

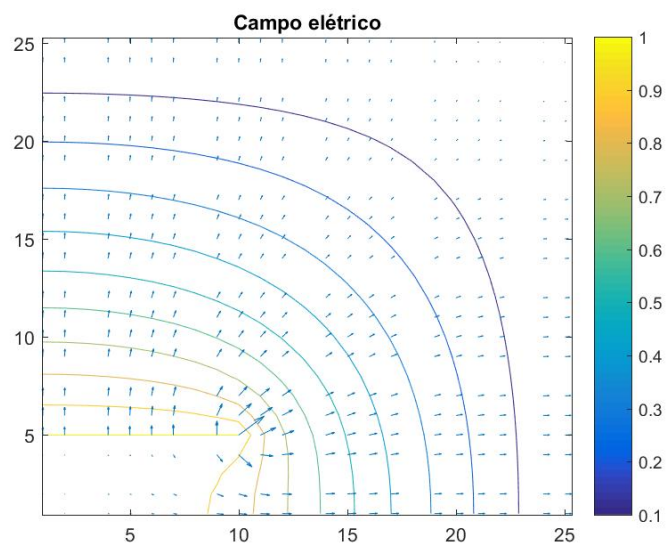


FIGURA 18. V e \vec{E} sem o dielétrico, método I, $h = 0.1 \text{ cm}$ e $nt = 500$

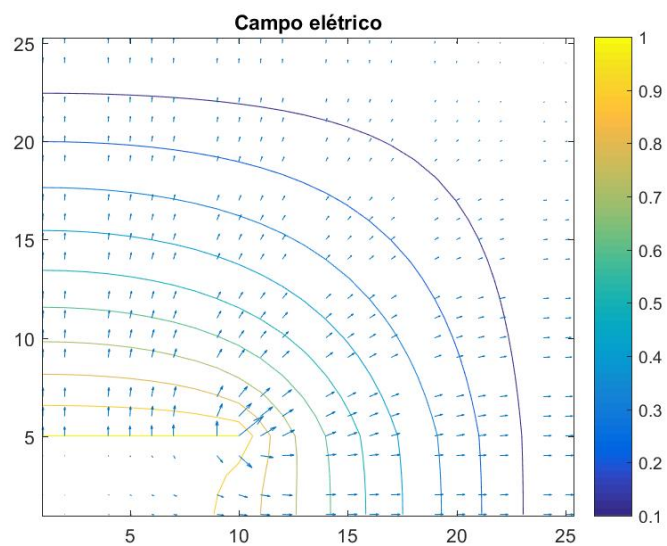


FIGURA 19. V e \vec{E} com o dielétrico, método I, $h = 0.1 \text{ cm}$ e $nt = 500$

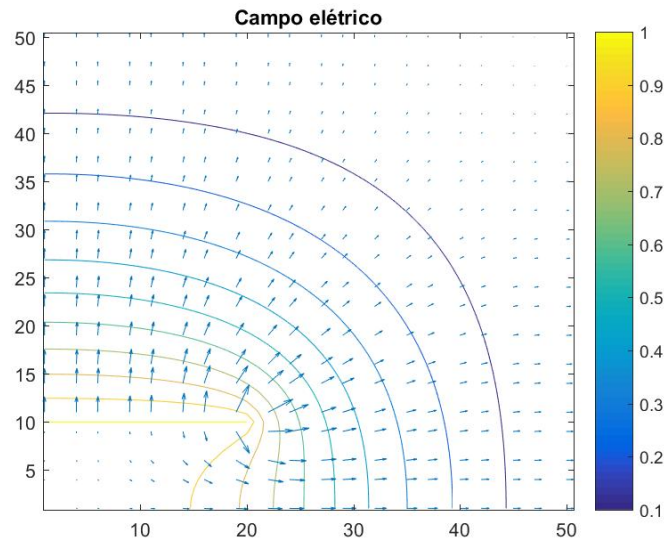


FIGURA 20. V e \vec{E} sem o dielétrico, método I, $h = 0.05 \text{ cm}$ e $nt = 500$

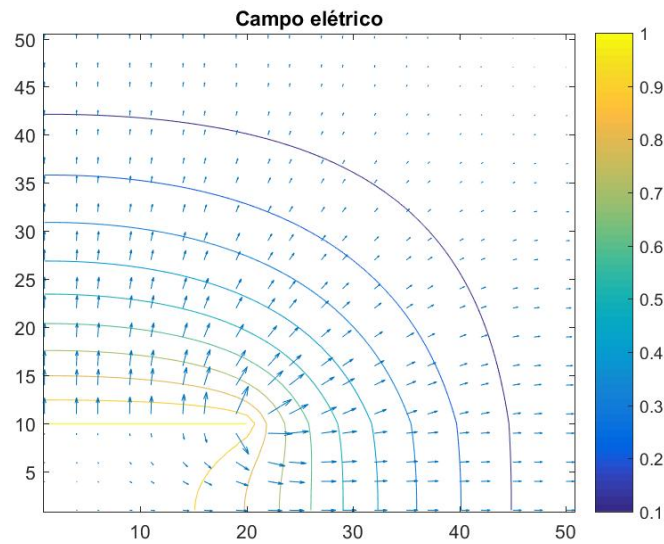


FIGURA 21. V e \vec{E} com o dielétrico, método I, $h = 0.05 \text{ cm}$ e $nt = 500$

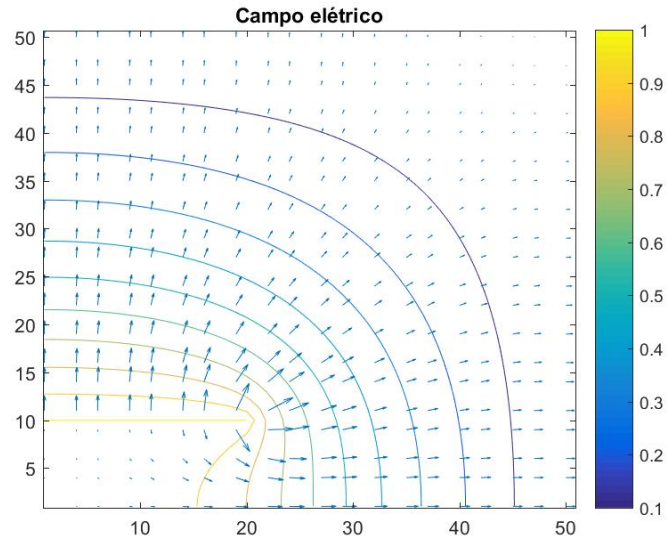


FIGURA 22. V e \vec{E} sem o dielétrico, método I, $h = 0.05 \text{ cm}$ e $nt = 700$

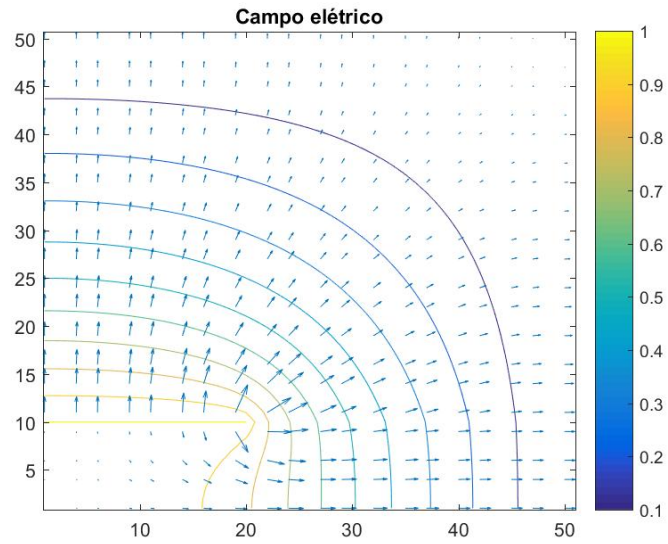


FIGURA 23. V e \vec{E} com o dielétrico, método I, $h = 0.05 \text{ cm}$ e $nt = 700$

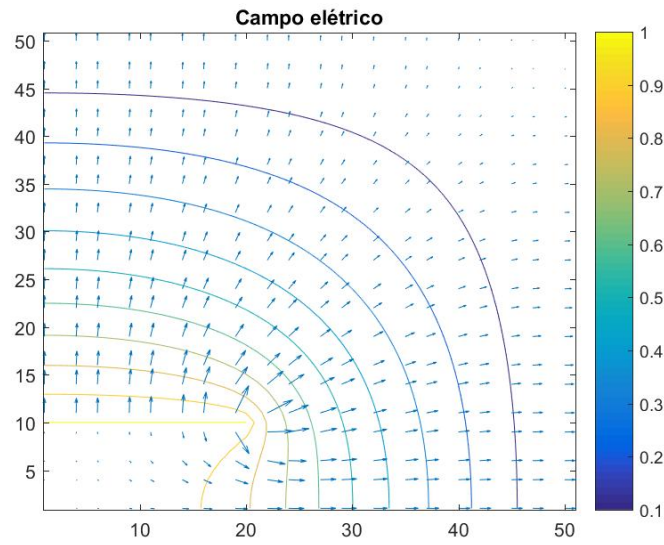


FIGURA 24. V e \vec{E} sem o dielétrico, método I, $h = 0.05 \text{ cm}$ e $nt = 1000$

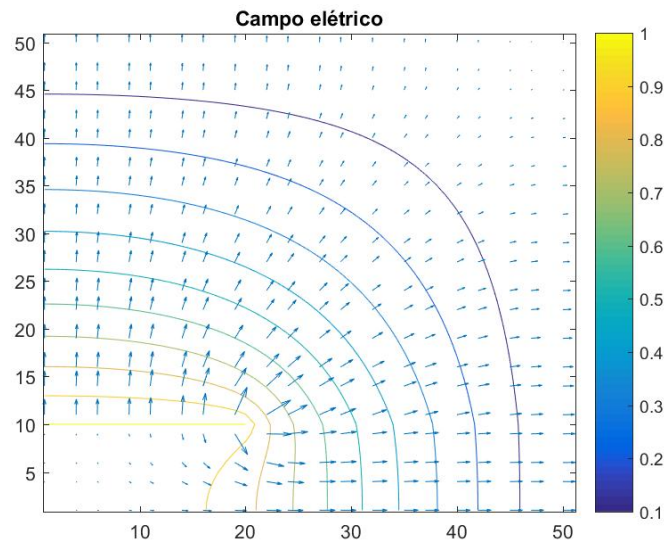


FIGURA 25. V e \vec{E} com o dielétrico, método I, $h = 0.05 \text{ cm}$ e $nt = 1000$

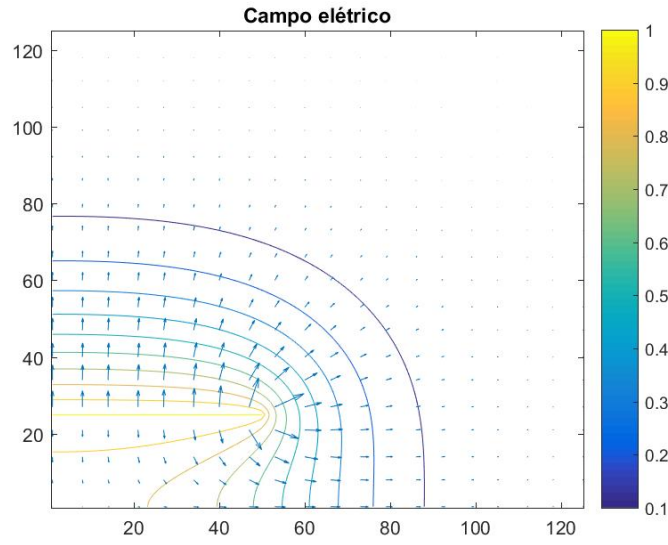


FIGURA 26. V e \vec{E} sem o dielétrico, método I, $h = 0.02 \text{ cm}$ e $nt = 1000$

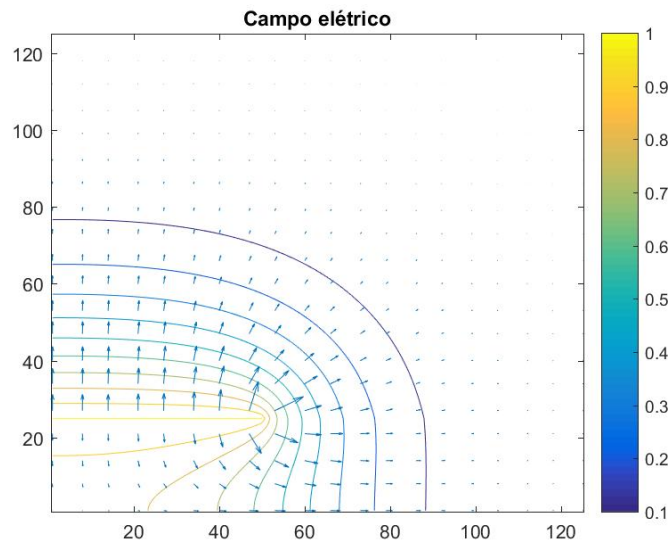


FIGURA 27. V e \vec{E} com o dielétrico, método I, $h = 0.02 \text{ cm}$ e $nt = 1000$

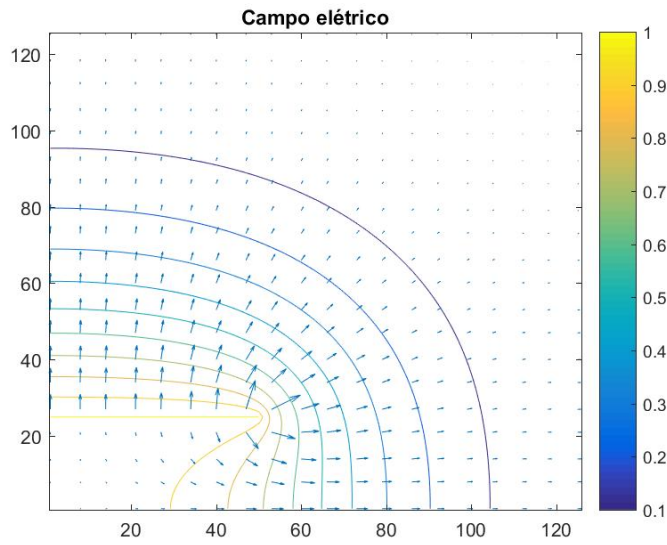


FIGURA 28. V e \vec{E} sem o dielétrico, método I, $h = 0.02 \text{ cm}$ e $nt = 2000$

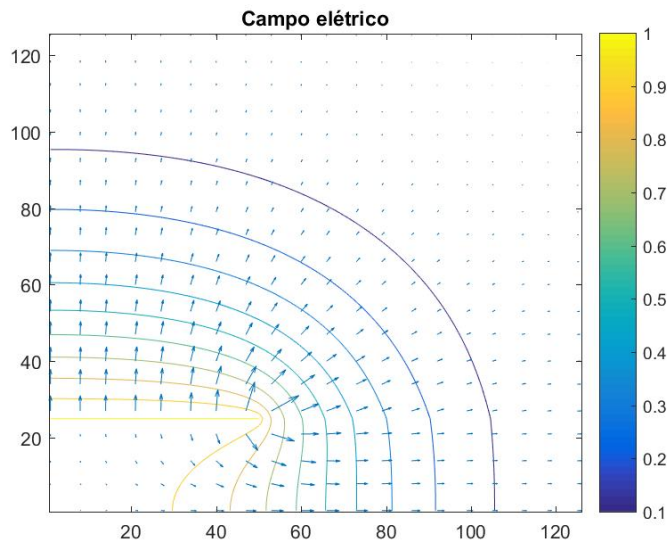


FIGURA 29. V e \vec{E} com o dielétrico, método I, $h = 0.02 \text{ cm}$ e $nt = 2000$

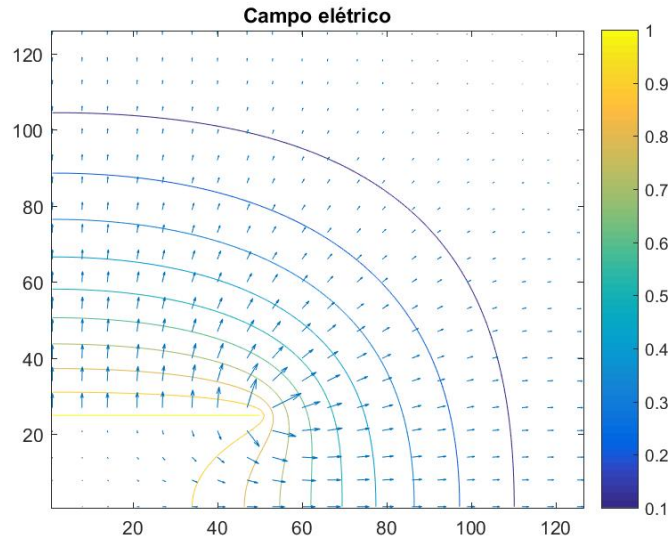


FIGURA 30. V e \vec{E} sem o dielétrico, método I, $h = 0.02 \text{ cm}$ e $nt = 3000$

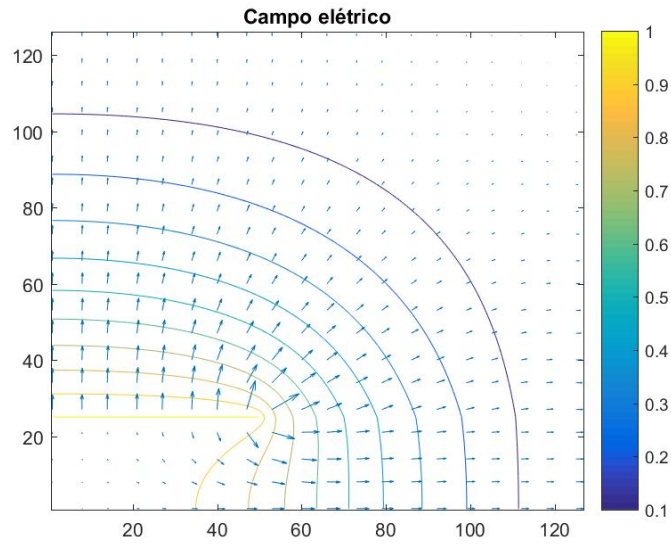


FIGURA 31. V e \vec{E} com o dielétrico, método I, $h = 0.02 \text{ cm}$ e $nt = 3000$

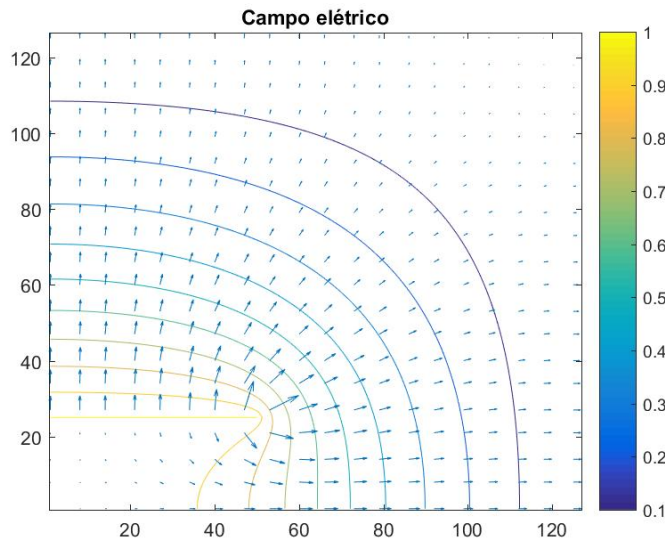


FIGURA 32. V e \vec{E} sem o dielétrico, método I, $h = 0.02 \text{ cm}$ e $nt = 4000$

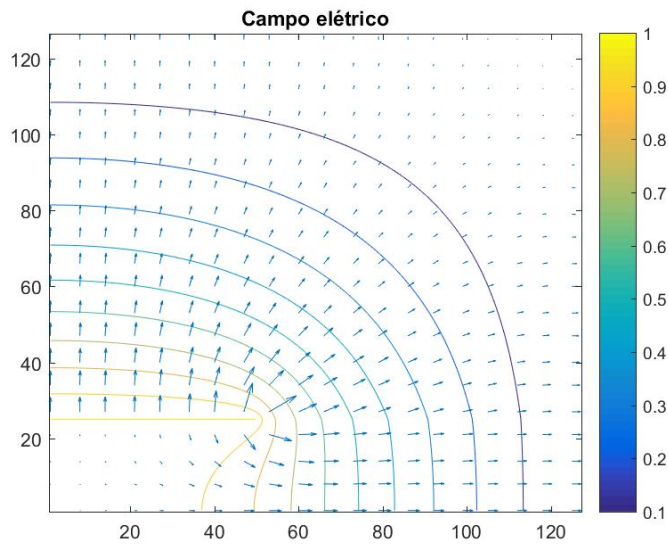


FIGURA 33. V e \vec{E} com o dielétrico, método I, $h = 0.02 \text{ cm}$ e $nt = 4000$

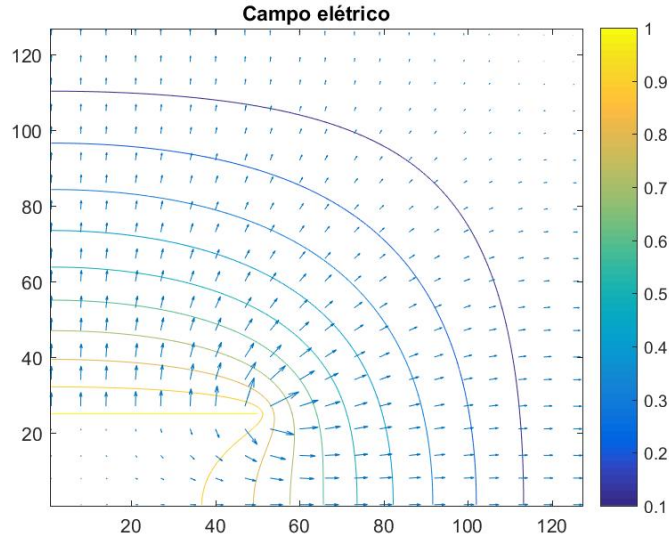


FIGURA 34. V e \vec{E} sem o dielétrico, método I, $h = 0.02 \text{ cm}$ e $nt = 5000$

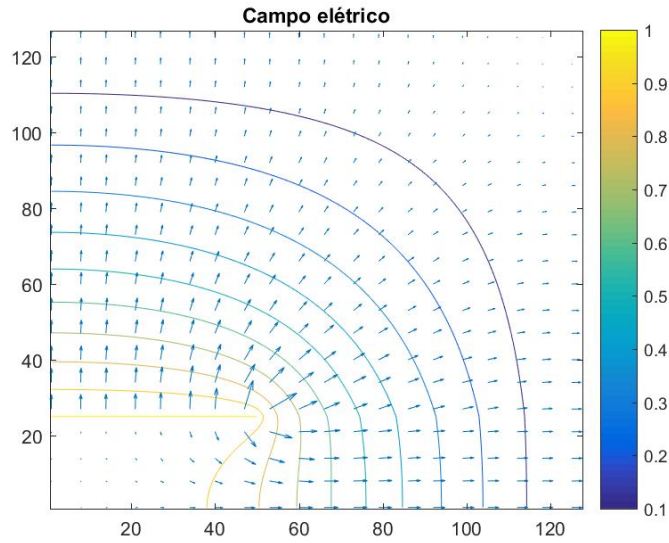


FIGURA 35. V e \vec{E} com o dielétrico, método I, $h = 0.02 \text{ cm}$ e $nt = 5000$

A permissividade relativa do dielétrico é pequena, por isso a diferença entre os campos com e sem ele é discreta, mas ainda assim perceptível. A diferença entre o número de iterações usadas no método I, por outro lado, é bastante expressiva. Também se pode notar que o número de

iterações necessário para que a precisão do método I alcance a do método II é grande; por outro lado, o método I consegue trabalhar com malhas mais finas que o método II.

4. CONCLUSÃO

Comparado com o método iterativo, o método de solução do sistema linear é mais preciso, mas é mais lento e o tamanho da matriz de coeficientes limita a precisão que pode ser obtida, pois para valores de h muito pequenos o MATLAB não aceita criar a matriz resultante. Além disso, o tempo de cálculo aumenta muito rápido à medida que h diminui.

A precisão obtida não foi suficiente para tornar o resultado independente do valor escolhido para o tamanho da superfície Gaussiana usada no cálculo da carga elétrica livre na superfície condutora. Infelizmente, como se acabou de mencionar, os recursos computacionais necessários para aumentar a precisão a um ponto adequado são muito grandes. Seria preciso usar outra ferramenta que não o MATLAB.

Neste trabalho, optamos por implementar o método de solução iterativo exatamente da forma proposta por [SADIKU 2009], de forma a poder conferir os resultados obtidos. Ambos os métodos, contudo, poderiam ser otimizados. O método iterativo, por exemplo, usa um fator de relaxação muito baixo. O método de solução do sistema linear, por sua vez, poderia usar matrizes esparsas, de forma a ocupar menos memória.

REFERÊNCIAS

[SADIKU 2009] Matthew N. O. SADIKU, **Numerical Techniques in Electromagnetic with MATLAB**, 3rd Ed., CRC, 2009, Chap. 3, pp. 132 a 159.

Todo o código consta do anexo (arquivo `trabalho.zip`).

Programas testados com **MATLAB** R2016a

<https://www.mathworks.com>

Texto formatado com **pdflatex** em ambiente **MiKTeX** 2.9:

<http://miktex.org/download/>